

УДК 537.534.3:621.384.8 (075.8)

© В. А. Елохин, Ю. К. Голиков, К. В. Соловьев

ЭЛЕКТРОСТАТИЧЕСКИЕ ПЛАНАРНЫЕ ИОННЫЕ Z^2 -ЛОВУШКИ

В статье изложена теория электростатических ионных ловушек с идеальной пространственно-временной фокусировкой ионного пакета вдоль одной из координат, временной фокусировкой по другой координате и удержанием по третьей.

Кл. сл.: электростатическая ионная ловушка, масс-спектрометрия

БЕЗРАЗМЕРНАЯ МОДЕЛЬ
ИОННО-ОПТИЧЕСКОЙ СИСТЕМЫ

Теорию масс-спектрометров наиболее удобно изучать при помощи безразмерной математической модели, содержащей минимальное число символов. Введем в качестве линейного масштаба какую-либо характерную длину реальной системы ℓ , например ее габарит, а единицу времени T выберем таким образом, чтобы из функции Лагранжа L выделился единый постоянный множитель, который в уравнениях Лагранжа сокращается. Физические координаты X, Y, Z и время t свяжем с безразмерными параметрами x, y, z, τ соотношениями:

$$X = \ell \cdot x, \quad Y = \ell \cdot y, \quad Z = \ell \cdot z, \quad t = T \cdot \tau. \quad (1)$$

Потенциал электростатического поля

$$\Phi = \Phi_0 \cdot \varphi(x, y, z), \quad (2)$$

где Φ_0 — характерное значение потенциала, выбранное из каких-либо физических или инженерных соображений, а $\varphi(x, y, z)$ — безразмерный потенциал, удовлетворяющий уравнению Лапласа

$$\varphi_{xx} + \varphi_{yy} + \varphi_{zz} = 0. \quad (3)$$

Единицу времени T определим формулой

$$T = \ell \cdot \sqrt{m / |q\Phi_0|}, \quad (4)$$

где q и m — заряд и масса иона.

В этих условиях унифицированная функция Лагранжа иона в безразмерных переменных примет вид

$$L = \frac{1}{2} \cdot (\dot{x}^2 + \dot{y}^2 + \dot{z}^2) - \varphi(x, y, z). \quad (5)$$

Точки над символами обозначают дифференциро-

вание по безразмерному времени τ . Уравнения движения могут быть записаны в виде

$$\begin{aligned} \ddot{x} &= -\varphi_x, \\ \ddot{y} &= -\varphi_y, \\ \ddot{z} &= -\varphi_z, \end{aligned} \quad (6)$$

где нижние символы обозначают соответствующие компоненты переменных. Физические начальные данные движения

$$\begin{aligned} X|_{t=0} &= X_0, \quad Y|_{t=0} = Y_0, \quad Z|_{t=0} = Z_0, \\ \frac{dX}{dt}|_{t=0} &= V_x, \quad \frac{dY}{dt}|_{t=0} = V_y, \quad \frac{dZ}{dt}|_{t=0} = V_z \end{aligned}$$

при переходе к безразмерным переменным преобразуются в

$$\begin{aligned} x_0 &= X_0/\ell, \quad y_0 = Y_0/\ell, \quad z_0 = Z_0/\ell, \\ \dot{x}_0 &= TV_x/\ell, \quad \dot{y}_0 = TV_y/\ell, \quad \dot{z}_0 = TV_z/\ell. \end{aligned} \quad (7)$$

Вместо начальной кинетической энергии $E_0 = \frac{1}{2}mV_0^2$, где $V_0 = \sqrt{V_x^2 + V_y^2 + V_z^2}$, появляется

безразмерный параметр $w = \frac{1}{2}(\dot{x}_0^2 + \dot{y}_0^2 + \dot{z}_0^2)$,

имеющий весьма ясный физический смысл. Если воспользоваться единицей времени, определенной выражением (4), w может быть записан как

$$w = E_0 / |q\Phi_0|. \quad (8)$$

Иначе говоря, безразмерная кинетическая энергия w выражает реальную кинетическую энергию E_0 в долях характерной потенциальной энергии $|q\Phi_0|$ иона в данном поле. Если далее выразить $\dot{x}_0, \dot{y}_0, \dot{z}_0$ через w , то становится очевидным, что весь набор безразмерных начальных данных (7) не

зависит от массы иона, но только от его энергии старта E_0 . Это означает, что любой пакет ионов разной массы, но одинаковой энергии можно рассматривать как своеобразную абстрактную обезличенную частицу, для которой вся динамика и кинематика определяется только параметрами (7) и структурой безразмерного потенциала $\varphi(x, y, z)$.

ПРИНЦИП ИДЕАЛЬНОЙ ПРОСТРАНСТВЕННО-ВРЕМЕННОЙ ФОКУСИРОВКИ

Сконструируем класс лапласовых потенциалов вида

$$\varphi = f(x, y) + az^2. \quad (9)$$

Подставляя $\varphi(x, y, z)$ в уравнение Лапласа (3), получим двумерное уравнение Пуассона для функции $f(x, y)$:

$$f_{xx} + f_{yy} + 2a = 0, \quad (10)$$

а уравнения движения (6) примут следующий вид:

$$\begin{aligned} \ddot{x} &= -f_x(x, y), \\ \ddot{y} &= -f_y(x, y), \\ \ddot{z} &= -2az. \end{aligned} \quad (11)$$

Очевидно, движение вдоль оси z отделено от движения в плоскости xu и связано с ним только посредством начальных данных.

Если $a > 0$, то третье уравнение системы (11) — уравнение колебаний, и движение вдоль z немедленно находится в виде

$$z = z_0 \cos(\sqrt{2a}\tau) + \frac{\dot{z}_0}{\sqrt{2a}} \sin(\sqrt{2a}\tau). \quad (12)$$

Пусть в момент старта пакет частиц, распределенный по скоростям $\dot{x}_0, \dot{y}_0, \dot{z}_0$, имел вид плоскости $z = z_0$. Тогда из формулы (12) легко заметить, что в моменты

$$\tau_n = \pi n / \sqrt{2a}, \quad n = 1, 2, 3, \dots \quad (13)$$

функция z перестает зависеть от \dot{z}_0 , поскольку $\sin(\pi n) = 0$, а координата z_n принимает значения

$$z_n = (-1)^n z_0, \quad n = 1, 2, 3, \dots \quad (14)$$

Иначе говоря, лист снова стал бесконечно тонким, несмотря на разброс частиц по скорости \dot{z}_0 . Физическое время полета и координата получатся при помощи T, ℓ :

$$t_n = T \cdot \tau_n = \ell \pi n \sqrt{\frac{m}{2a |q\Phi_0|}}, \quad (15)$$

$$Z_n = \ell \cdot z_n = (-1)^n Z_0, \quad n = 1, 2, 3, \dots$$

Это важное для масс-спектрометрии явление можно назвать принципом идеальной пространственно-временной фокусировки. Как видно из (15), ионы каждой массы проходят плоскости фокусировки $Z = \pm Z_0$ в разные моменты времени t_n и, следовательно, они уже диспергированы по времени пролета пропорционально \sqrt{m} . За несколько циклов этого колебательного процесса можно накопить большую дисперсию. Данный эффект, по видимому, впервые описан в патенте [1].

Можно сказать, что квадратичная часть потенциальной энергии воплощает идею идеального масс-рефлектрона с полной компенсацией энергетического разброса в ионном пакете. Если реальный пакет имеет вид таблетки толщины d вдоль оси z и проекцию на плоскость xu в виде небольшого пятна, то с течением времени это пятно расплывется и займет область достаточно больших размеров, если только силы электрического поля не помешают этой деформации пакета. Заметим также, что, согласно (12), указанная идеальная пространственно-временная фокусировка (в плоскости $z = 0$) осуществляется и в том случае, когда ионы стартуют одновременно с различными начальными координатами $z_0 \neq 0$ и нулевой начальной скоростью \dot{z}_0 . В этом случае, реализуемом при ортогональном оси z вводе пучка, уширение пакета в плоскости $z = 0$ обусловлено ненулевыми начальными z -скоростями и сохраняется постоянным в течение всего времени масс-анализа.

Таким образом, инжектируемый в поле анализатора ионный пакет должен в идеале иметь либо нулевую протяженность по направлению идеальной фокусировки (при произвольном разбросе по скоростям), либо нулевую скорость \dot{z}_0 при произвольном разбросе по координате z в момент старта. Детектирование диспергированных по времени пакетов (соответствующих различным массам) возможно либо непосредственно, с фиксацией времени пролета, либо путем анализа наведенного тока на сигнальном электроде, размещенном в плоскости идеальной пространственно-временной фокусировки пучка. В последнем случае возникает необходимость анализа спектра колебаний наведенного тока с учетом того, что частота, соответствующая колебанию ионного пакета массы m , определяется соотношением

$$\omega_m = \frac{2\pi}{t_1} = \frac{2\sqrt{2a |q\Phi_0|}}{l\sqrt{m}}. \quad (16)$$

При конструировании ионно-оптических сред мы должны в первую очередь выработать правила выбора функции $f(x, y)$, гарантирующей нужную структуру сил, при которых ионный пакет удерживается в заданных размерах по направлениям x, y .

ПЛАНАРНЫЕ ЛОВУШКИ

Представим потенциал (1) в виде

$$\varphi = p(x, y) + (z^2 - y^2). \tag{17}$$

Это — суперпозиция двух сугубо двумерных полей — квадруполь $z^2 - y^2$ и поля с потенциалом $p(x, y)$. Характерно, что квадруполь не вносит компоненты силы вдоль оси x и, значит, она определяется только структурой потенциала $p(x, y)$. Это обстоятельство оказывается очень ценным при синтезе класса ионно-оптических сред. Чтобы перейти к такому синтезу, мы рассмотрим множество гармонических функций $p(x, y)$, симметричных по y относительно оси x :

$$p(x, y) = p(x, -y). \tag{18}$$

Ход потенциала вдоль оси x

$$p|_{y=0} = u(x) \tag{19}$$

однозначно определяет потенциал в окрестности оси (при $y \neq 0$) в виде ряда

$$p = u(x) - \frac{u''(x)}{2}y^2 + \frac{u^{(4)}(x)}{24}y^4 + \dots, \tag{20}$$

который легко вычисляется из уравнения Лапласа методом неопределенных коэффициентов.

Данный ряд — классическое средство представления потенциалов в традиционной электронной оптике параксиальных пучков, и он хорош именно для динамических исследований заранее выбранных полевых структур прямым способом анализа.

Однако в задаче синтеза, когда искомым является потенциал и электродная конфигурация, его реализующая, этот ряд ввиду ухудшения сходимости с ростом $|y|$ теряет свою привлекательность. Здесь более выгодно воспользоваться формулой комплексного потенциала для симметричных двумерных полей, которая непосредственно дает выражение его через функцию $u(x)$.

Итак, положим

$$\Omega(x, y) = s(x, y) + i p(x, y)$$

и

$$\begin{aligned} \Omega(x + iy) &= iu(x + iy), \\ p(x, y) &= \text{Im} \Omega(x + iy). \end{aligned} \tag{21}$$

Это выражение вполне очевидно и не требует дополнительных комментариев. Преимущество его перед представлением (20) в том, что оно охватывает глобальную картину поля вместе с особенностями, где бы они ни находились, в отличие от ряда (20), действующего вполне эффективно только в очень узкой полосе $|y| < \delta$ и, следовательно, не отражающего истинную геометрию эквипотенциалей вдали от оси симметрии x .

Далее займемся непосредственным синтезом одномерного потенциала $u(x)$, удовлетворяющего условиям пространственно-временной фокусировки (уже не идеальной) ионного пакета по координате x и удержания ионов по координате y . Удобно использовать для этой цели квадратичные по x функции.

Рассмотрим зеркало с ходом потенциала вида

$$u(x) = A(1 - (1 - x/b)^2). \tag{22}$$

Время возврата τ_1 частицы в точку 0 при старте из нее же с энергией w дается интегралом

$$\begin{aligned} \tau_1 &= \sqrt{2} \int_0^{x_r} \frac{dx}{\sqrt{A(1 - x/b)^2 - (A - w)}} = \\ &= \frac{b}{\sqrt{2A}} \ln \frac{\sqrt{A} + \sqrt{w}}{\sqrt{A} - \sqrt{w}}. \end{aligned} \tag{23}$$

Далее рассмотрим линзу с параболическим ходом потенциала

$$u(x) = B(1 - x^2/h^2). \tag{24}$$

Время пролета сквозь линзу по оси x от $-h$ до $+h$ дается интегралом

$$\begin{aligned} \tau_2 &= \frac{1}{\sqrt{2}} \int_{-h}^h \frac{dx}{\sqrt{w - B(1 - x^2/h^2)}} = \\ &= \frac{h}{\sqrt{2B}} \ln \frac{\sqrt{w} + \sqrt{B}}{\sqrt{w} - \sqrt{B}}. \end{aligned} \tag{25}$$

Время пролета по дрейфовому отрезку H дается формулой

$$\tau_3 = \frac{H}{\sqrt{2w}}. \tag{26}$$

Из всех этих элементов составим потенциальный рельеф вида, как показано на рис. 1.

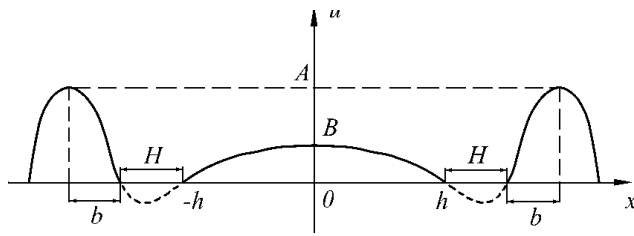


Рис. 1. Потенциальный рельеф системы

Если $B < w < A$, то ион колеблется в этой сложной яме с периодом τ^*

$$\tau^* = 2\tau_1 + 2\tau_2 + 4\tau_3, \quad (27)$$

или

$$\tau^* = \sqrt{2} \left(\frac{b}{\sqrt{A}} \ln \frac{\sqrt{A} + \sqrt{w}}{\sqrt{A} - \sqrt{w}} + \frac{h}{\sqrt{B}} \ln \frac{\sqrt{w} + \sqrt{B}}{\sqrt{w} - \sqrt{B}} + \frac{2H}{\sqrt{w}} \right). \quad (28)$$

Вычисляем $\frac{d\tau^*}{dw}$ и приравняем нулю. Получим:

$$\frac{d\tau^*}{dw} = \sqrt{\frac{2}{w}} \left(\frac{b}{A-w} - \frac{h}{w-B} - \frac{H}{w} \right) = 0. \quad (29)$$

Это — условие фокусировки первого порядка по энергии. Далее вычислим $\frac{d^2\tau^*}{dw^2}$:

$$\frac{d^2\tau^*}{dw^2} = \frac{1}{\sqrt{2}w^{3/2}} \left(\frac{b(3w-A)}{(A-w)^2} + \frac{h(3w-B)}{(w-B)^2} + \frac{3H}{w} \right). \quad (30)$$

Если выразить b из (29)

$$b = h \frac{A-w}{w-B} + H \frac{A-w}{w} \quad (31)$$

и далее вставить его в (30), то получим выражение для $\frac{d^2\tau^*}{dw^2}$ в условиях фокусировки первого порядка по энергии:

$$\frac{d^2\tau^*}{dw^2} = \frac{\sqrt{2}}{w^{3/2}(A-w)} \left(hw \frac{A-B}{(w-B)^2} + H \frac{A}{w} \right). \quad (32)$$

Таким образом, фокусировка второго порядка в данной системе не достигается ни при каких значениях параметров, т. к. выражение (32) никогда не обращается в нуль. Приращение периода $\Delta\tau^*$ при вариации энергии Δw в этих условиях запишется формулой

$$\Delta\tau^* = \frac{(\Delta w)^2}{\sqrt{2}w^{3/2}(A-w)} \left(hw \frac{A-B}{(w-B)^2} + H \frac{A}{w} \right). \quad (33)$$

Отрезки H , соответствующие переходным областям, должны быть малы на фоне b и h . Следовательно, для оценок имеет смысл положить $H = 0$ и выразить b из (31). Тогда

$$\tau^* = \sqrt{2}h \left(\frac{1}{\sqrt{A}} \frac{A-w}{w-B} \ln \frac{\sqrt{A} + \sqrt{w}}{\sqrt{A} - \sqrt{w}} + \frac{1}{\sqrt{B}} \ln \frac{\sqrt{w} + \sqrt{B}}{\sqrt{w} - \sqrt{B}} \right), \quad (34)$$

$$\Delta\tau^* = h \frac{(A-B)(\Delta w)^2}{\sqrt{2}w(A-w)(w-B)^2}. \quad (35)$$

Отношение $\frac{\Delta\tau^*}{\tau^*}$ не зависит от h в условиях фокусировки и определяется только соотношением энергий и потенциалов.

Поперечная фокусировка

Восстановим пространственное распределение потенциала, отвечающее распределениям $u(x)$ из (22) и (24):

$$\varphi_1 = z^2 + A(1 - (x/b - 1)^2) + (A/b^2 - 1)y^2, \quad (36)$$

$$\varphi_2 = z^2 + B(1 - x^2/h^2) + (B/h^2 - 1)y^2. \quad (37)$$

Если $A/b^2 > 1$ и $B/h^2 > 1$, то коэффициенты при y^2 положительны и, следовательно, силы по y как в зеркалах, так и в линзе исключительно фокусирующие. Более того, благодаря полному разделению переменных, времяпролетные свойства этих элементов вдоль оси x не зависят от смещения y . И хотя качество энергетической фокусировки здесь отнюдь не рекордное, данная схема может дать ловушку с очень большим фазовым объемом потока. Легко понять, что реальные полза-

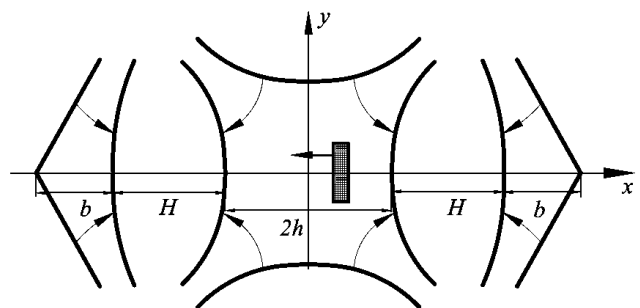


Рис. 2. Ползадающие электроды элементов ловушки

дающие электроды этих фокусирующих систем представляют собой гиперboloиды.

При такой геометрии весьма сложно совместить эти элементы так, чтобы зазоры *H* исчезли. Они остаются, и на их месте возникает рассеивающее поле от нескомпенсированного члена $-y^2$ в потенциале. Если в эти места встроить рассеивающие линзы, то рельеф на рис. 2 можно сделать приемлемо гладким. Однако и в таком разрывном виде система выглядит в техническом смысле весьма привлекательной, поскольку поверхности второго порядка легко реализуются в металле. При $A=2$, например, конус зеркала круговой, как и гиперboloиды-чашки. Но линза в силу условия $B < A$ уже представляет собой сплюснутый гиперboloид.

Схему подобного рода можно создать из любых фокусирующих зеркал и линз, и у всех у них будет один общий дефект — переходная рассеивающая область, которую, однако, можно сделать достаточно узкой. Качество временной фокусировки, безусловно, можно повысить за счет специального подбора неоднородности зеркала, но при этом может быть утрачена устойчивость по *y*, обеспечивающая большой фазовый объем пакета и равномерность фокусировки по всей площади пакета. Кроме того, наличие щелей в электродах зеркал и линз вносит еще один сложно учитываемый фактор в виде дополнительных линз. Чтобы сделать электронно-оптический тракт сквозным, описываемым единым аналитическим выражением, использован математический прием аналитической сшивки (соединения) элементов с различными потенциалами.

Пример 1

В предложенной системе удастся обеспечить удержание пакета ионов по *y* с одновременной энергетической фокусировкой первого порядка по *x* при наличии идеальной пространственно-временной фокусировки по *z*.

Поле электростатической ловушки задается выражением [2]

$$\varphi(x, y, z) = z^2 - kx^2 - (1 - k)y^2 + \sum_{i=0}^3 A_i \varphi_0(x - x_i, y, a_i, b_i, c_i), \quad (38)$$

где

$$\begin{aligned} \varphi_0(x, y, a, b, c) &= 2xy \cdot s_1 + (x^2 - y^2 + c) \cdot s_2, \\ s_1 &= -\frac{\sin 2ay}{2(\cos 2ay + \cosh 2a(x - b))}, \\ s_2 &= \frac{1}{2} + \frac{\sinh 2a(x - b)}{2(\cos 2ay + \cosh 2a(x - b))}. \end{aligned} \quad (39)$$

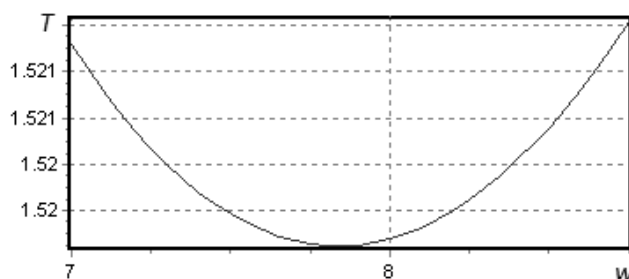


Рис. 3. Полу период *x*-колебаний в ловушке

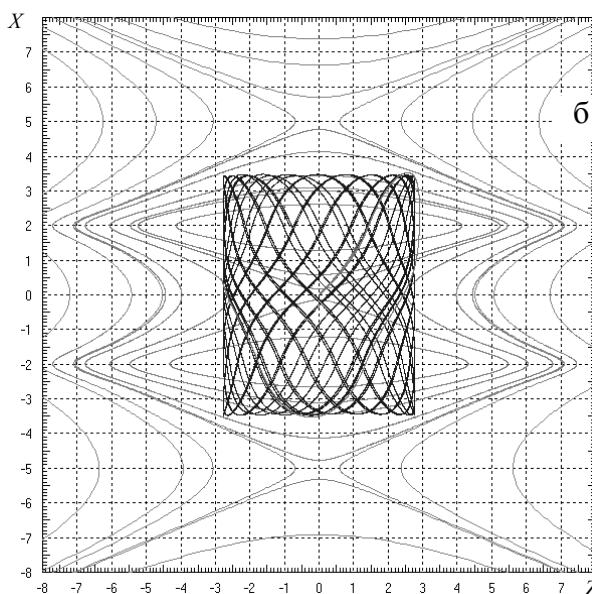
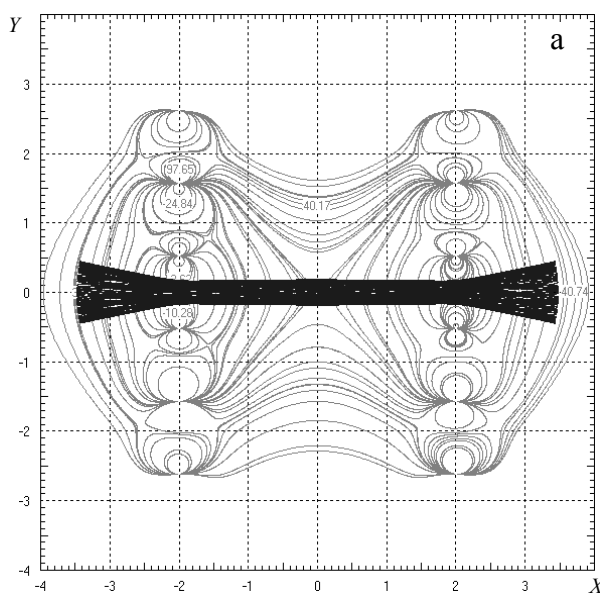


Рис. 4. Проекция траекторий ионов на плоскости *XOY* (а) и *ZOX* (б) на фоне эквипотенциалей поля ловушки

Зависимость полупериода x -колебаний в ловушке от энергии имеет минимум, что говорит о

наличии x -фокусировки по энергии (рис. 3). Качество работы системы позволяет оценить рис. 4.

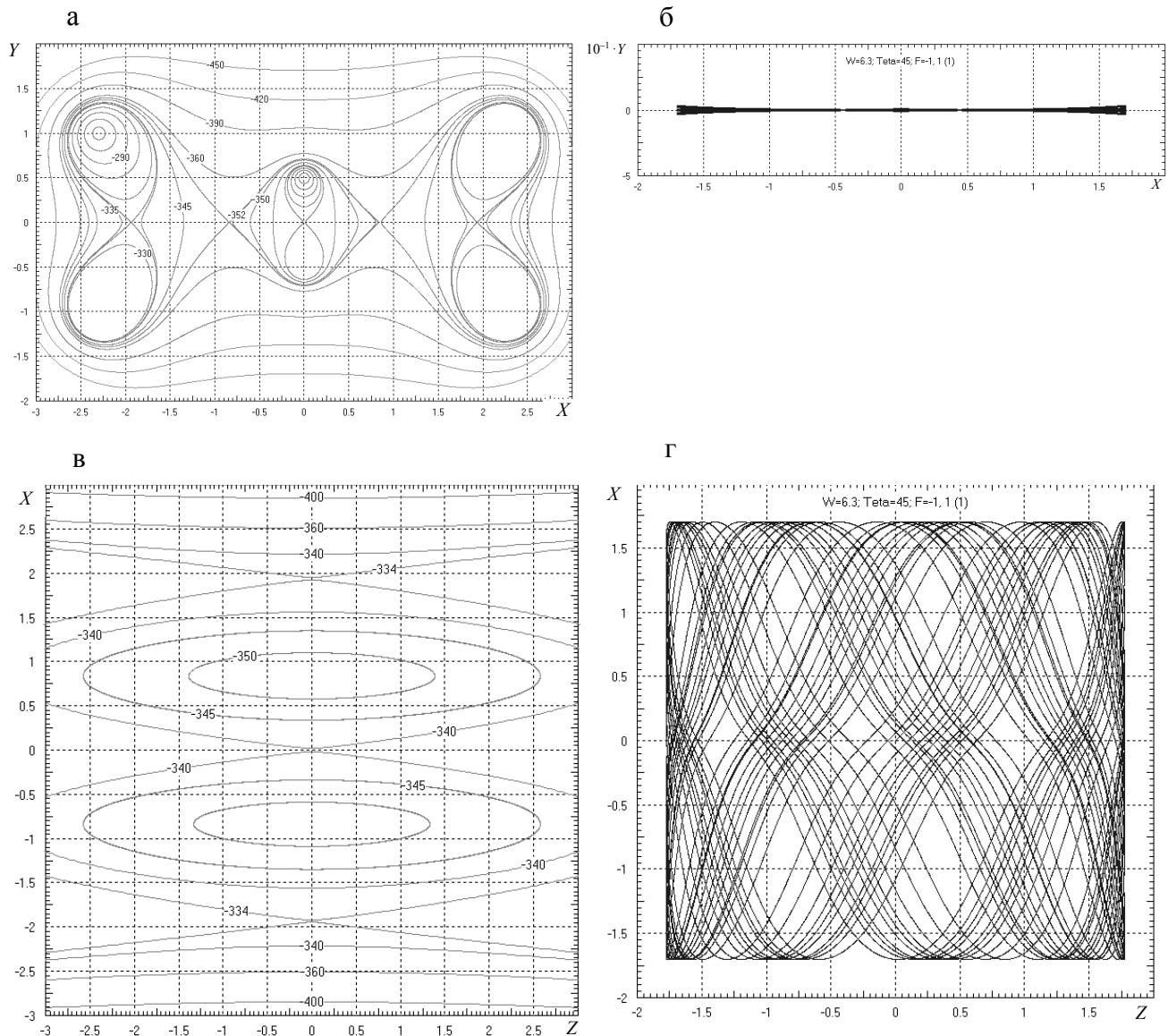


Рис. 5. Альтернативная полевая конфигурация: а, в — сечения эквипотенциальных поверхностей плоскостями $Z=0$ и $Y=0$ соответственно; б, г — траектории в проекции на плоскости $Z=0$ и $Y=0$

Пример 2

Рассмотренная в Примере 1 полевая структура может быть существенно упрощена при качественном сохранении динамики пакета. Альтернативная полевая конфигурация, содержащая логарифмические функции, проиллюстрирована рис. 5.

*ЗАО "Научные приборы", г. Санкт-Петербург
(Елохин В.А.)*

Санкт-Петербургский государственный политехнический университет (Голиков Ю.К., Соловьев К.В.)

СПИСОК ЛИТЕРАТУРЫ

1. Галль Л.Н., Голиков Ю.К., Александров М.Л. и др. Времяпролетный масс-спектрометр. А. с. № 1247973 СССР. Заявл. 16.01.1985; опубликовано 01.04.1986.
2. Golikov U., Solovyev K. et al. A multi-reflecting ion optical device. Patent application WO 2009/001909A2.

Контакты: Соловьев Константин Вячеславович,
k-solovyev@mail.ru

Материал поступил в редакцию 26.10.2012

PLANAR ELECTROSTATIC ION Z^2 TRAPS

V. A. Elokhin¹, Yu. K. Golikov², K. V. Solovyev²

¹"Scientific Instruments", Saint-Petersburg

²Saint-Petersburg State Polytechnical University

The theory of the ion traps with ideal space-time focusing is developed. Ion traps discussed provide ideal ion packet focusing along one of directions, time-focusing along the second coordinate and trapping along the third one.

Keywords: electrostatic ion trap, mass spectrometry